

Fig. 1(a)

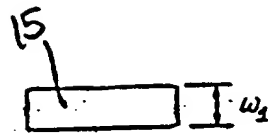


Fig. 1(b)

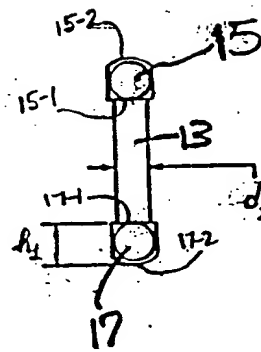
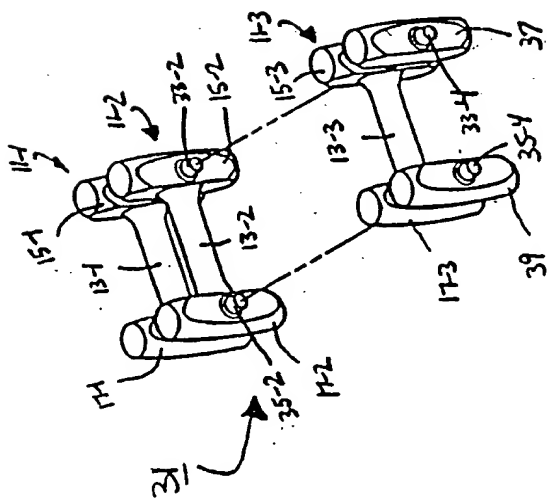


Fig. 1(c)



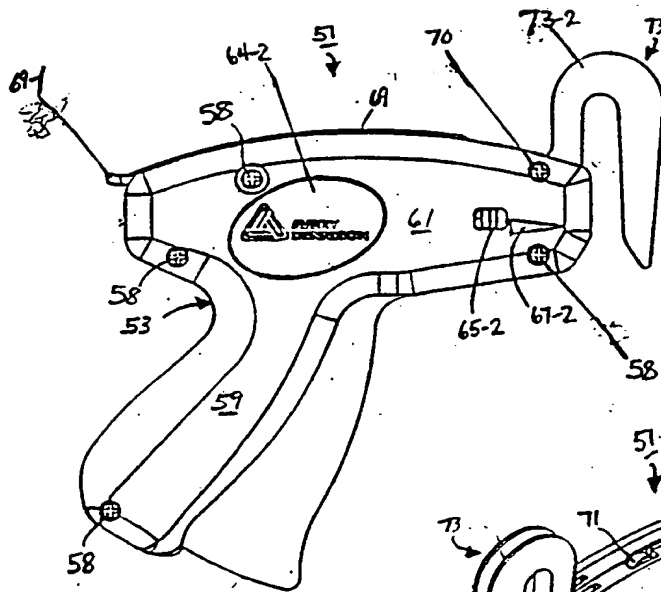


Fig. 4(a)

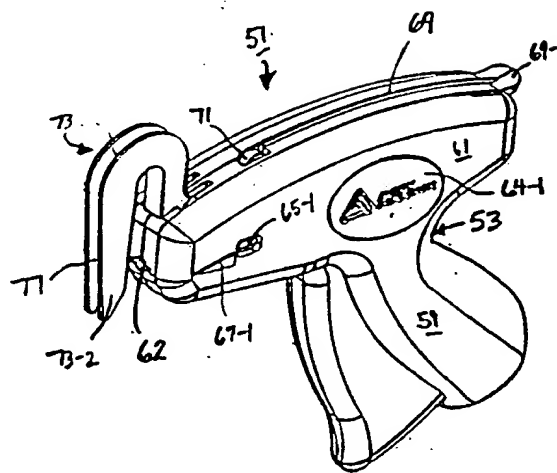


Fig. 4(b)

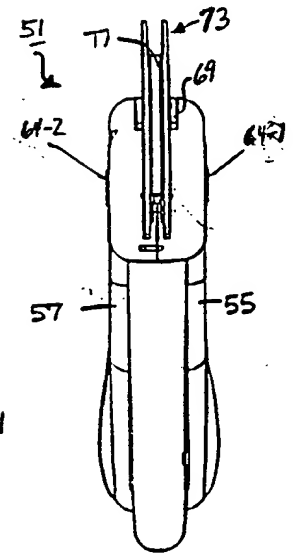


Fig. 4(c)

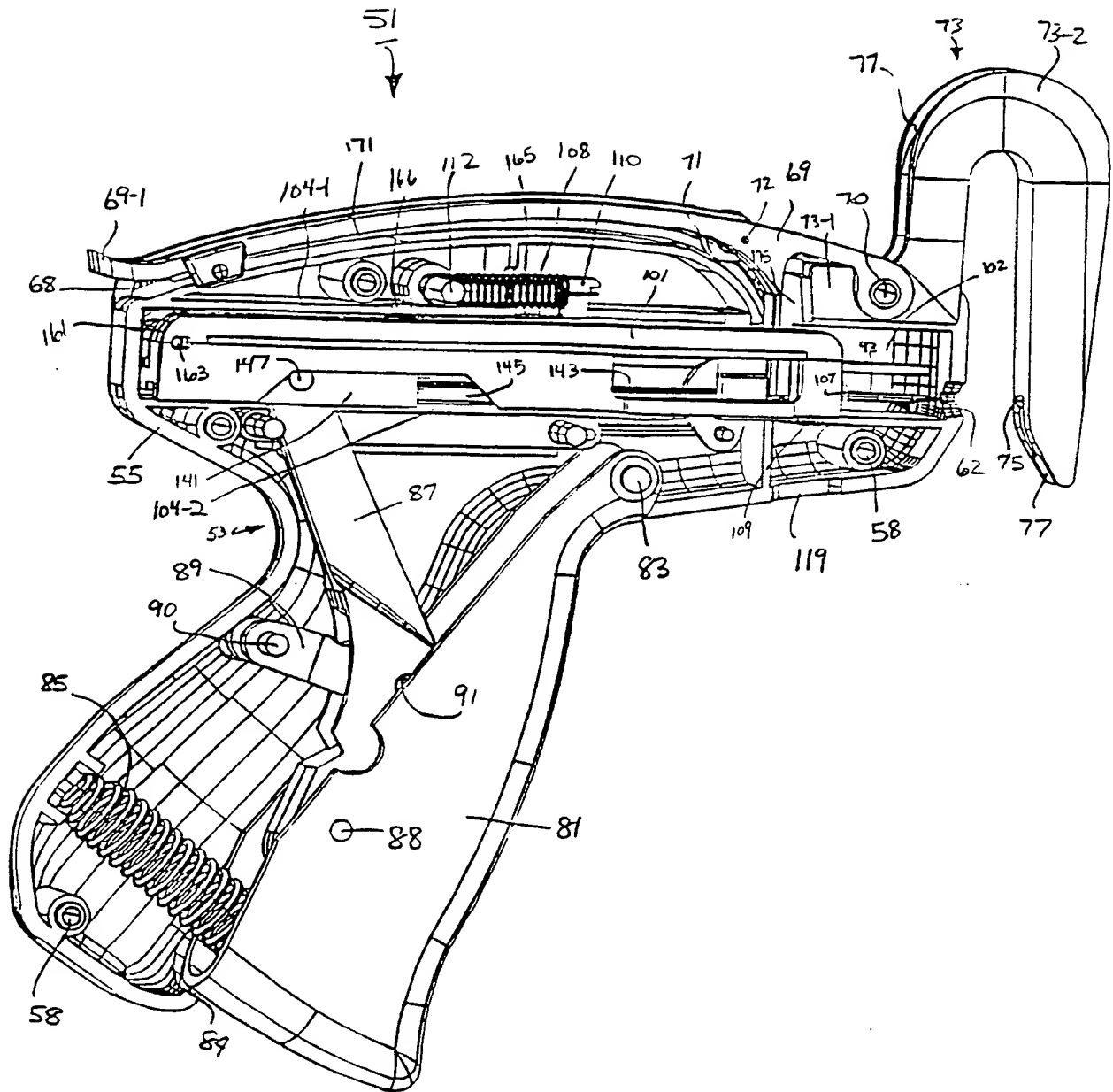


Fig. 5

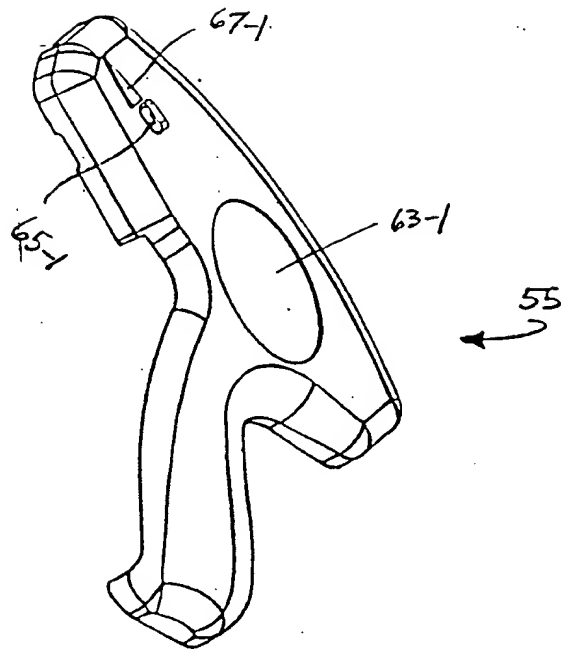


Fig. 6(a)

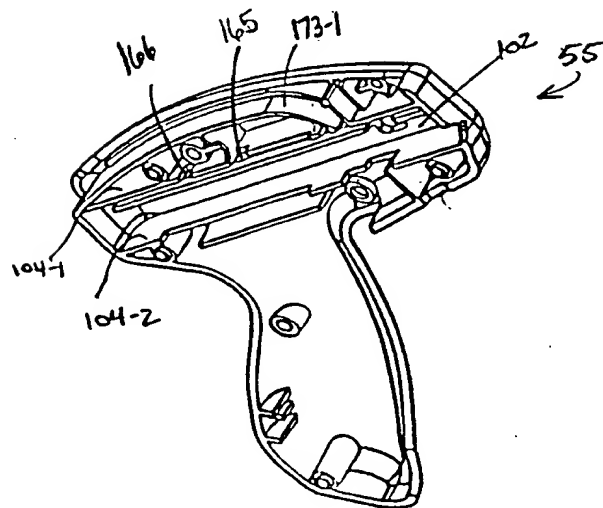
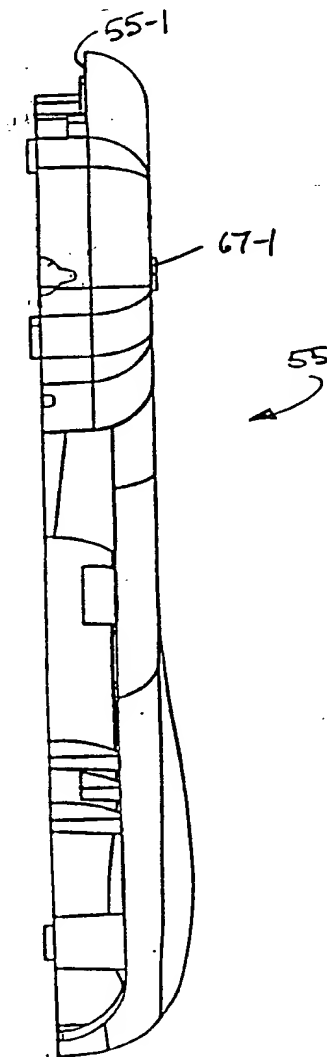
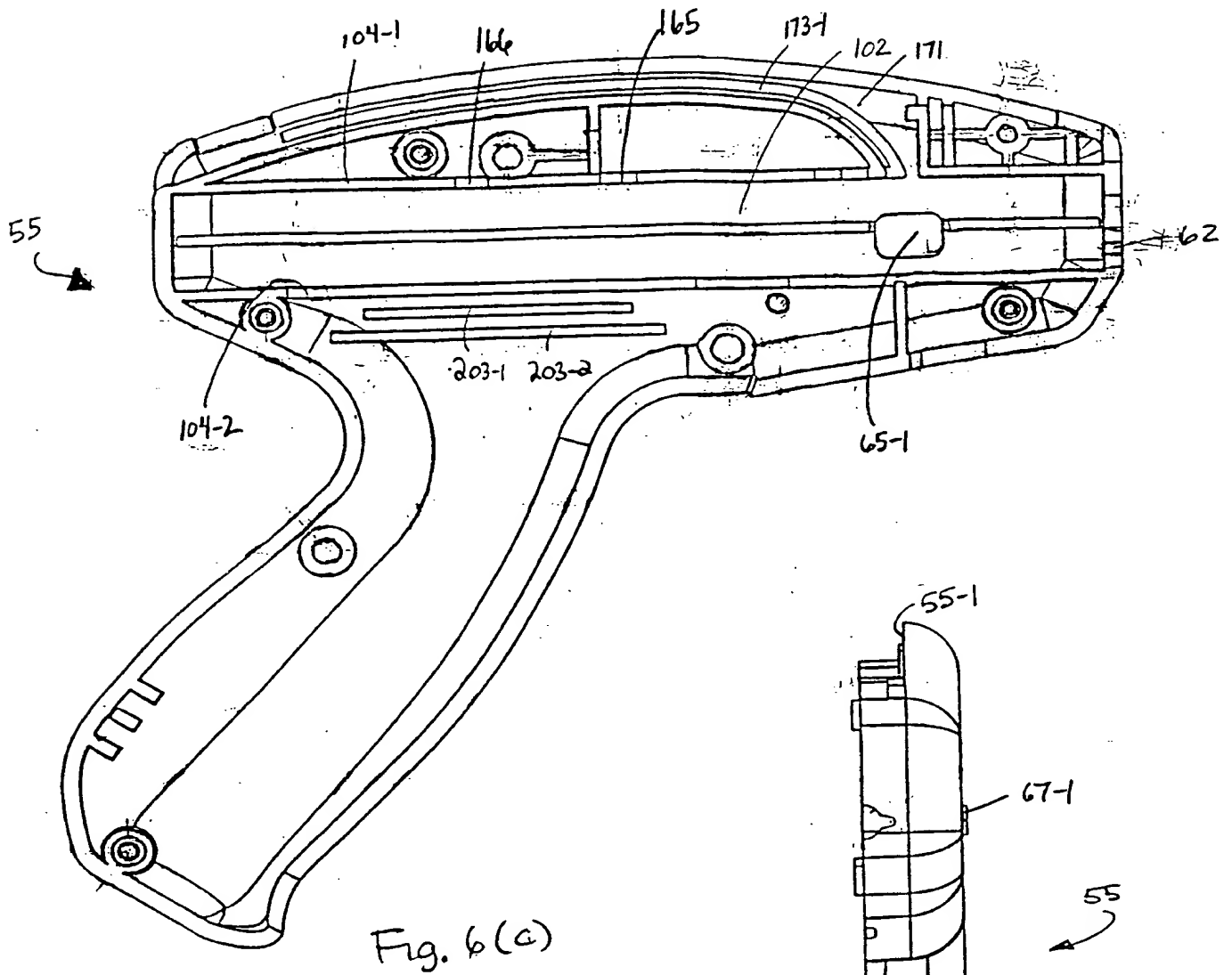


Fig. 6(b)



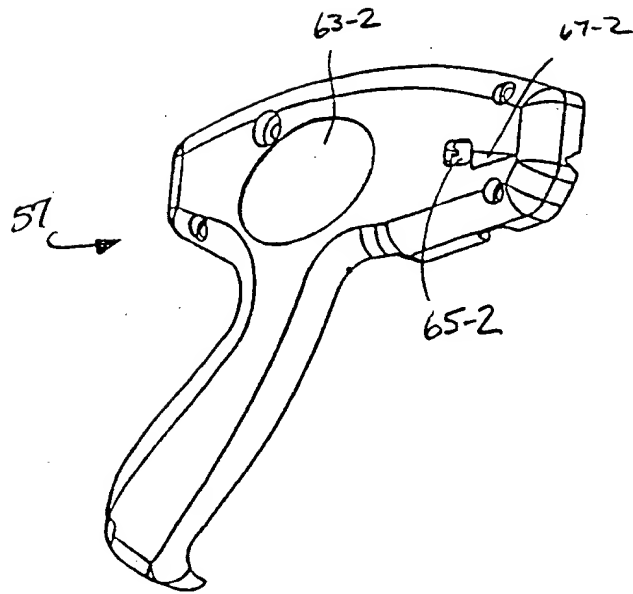


Fig. 7(a)

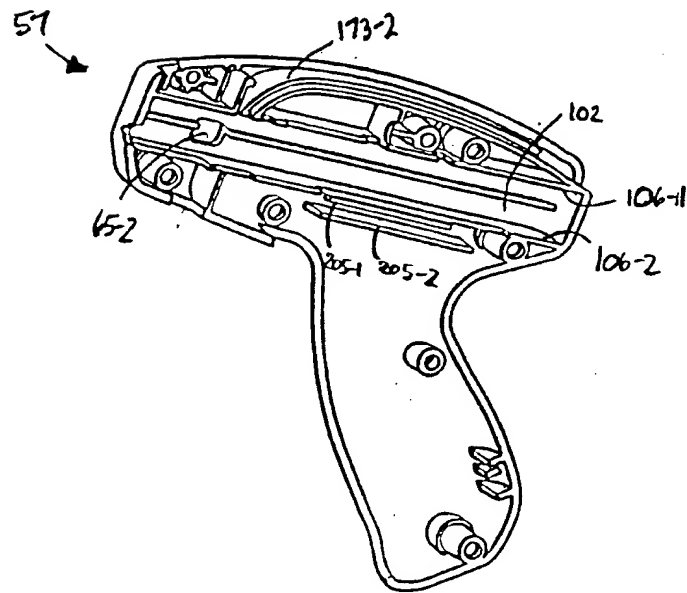


Fig. 7(b)

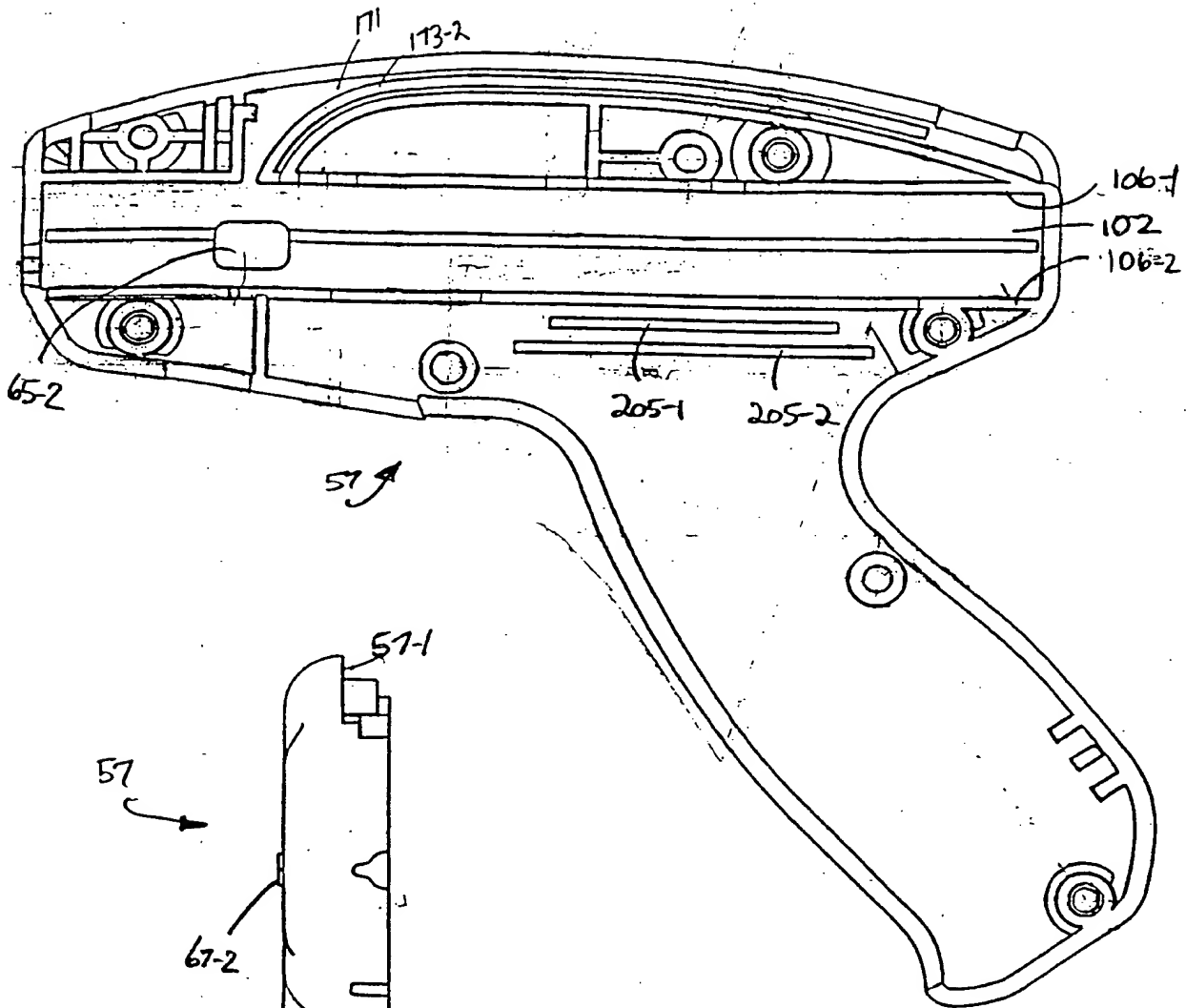


Fig. 7(c)

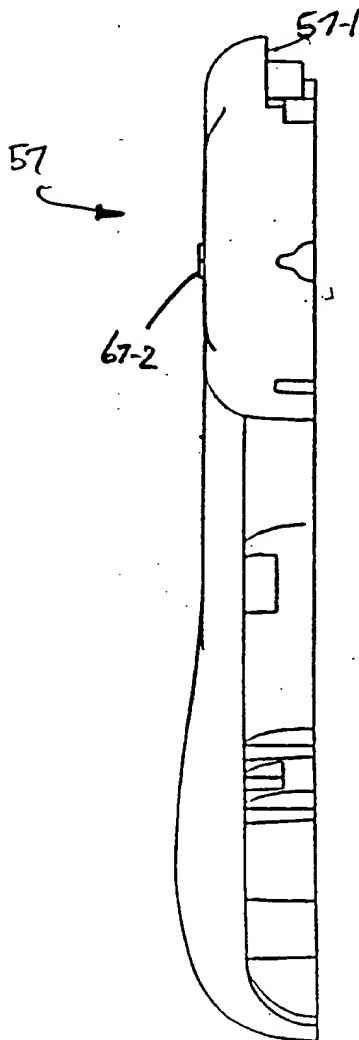
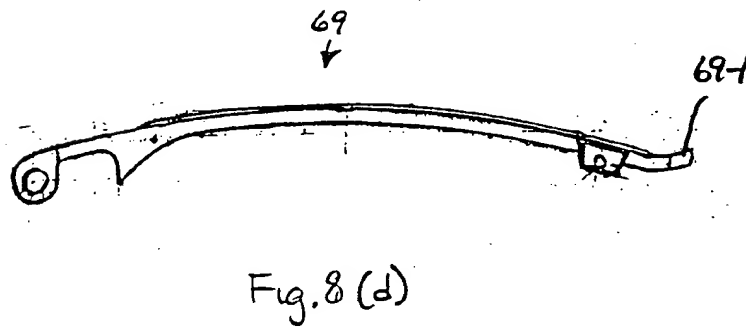
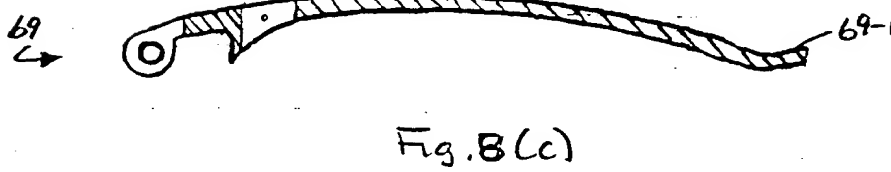
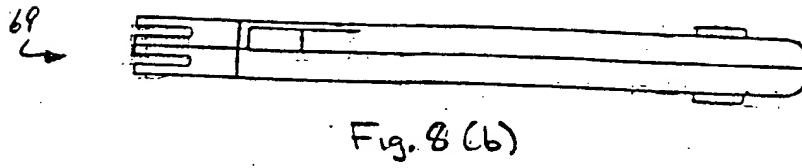
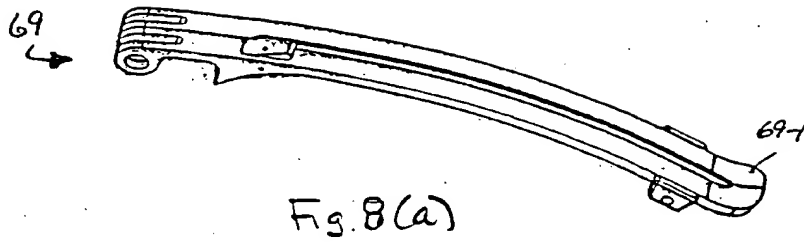
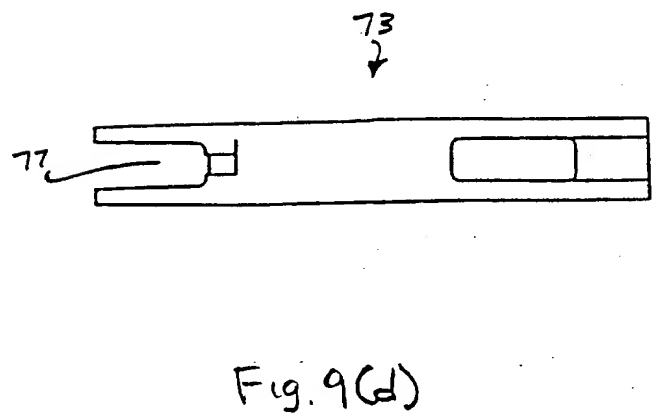
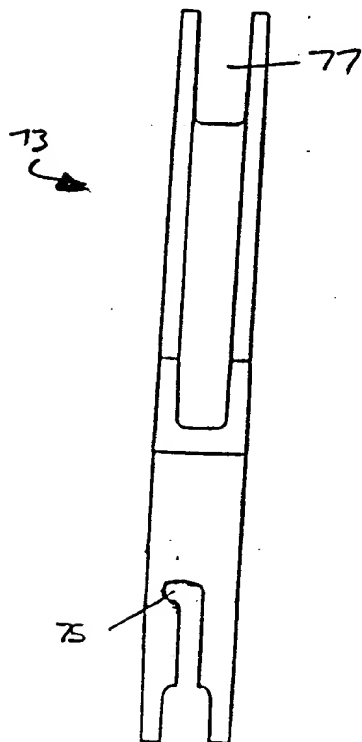
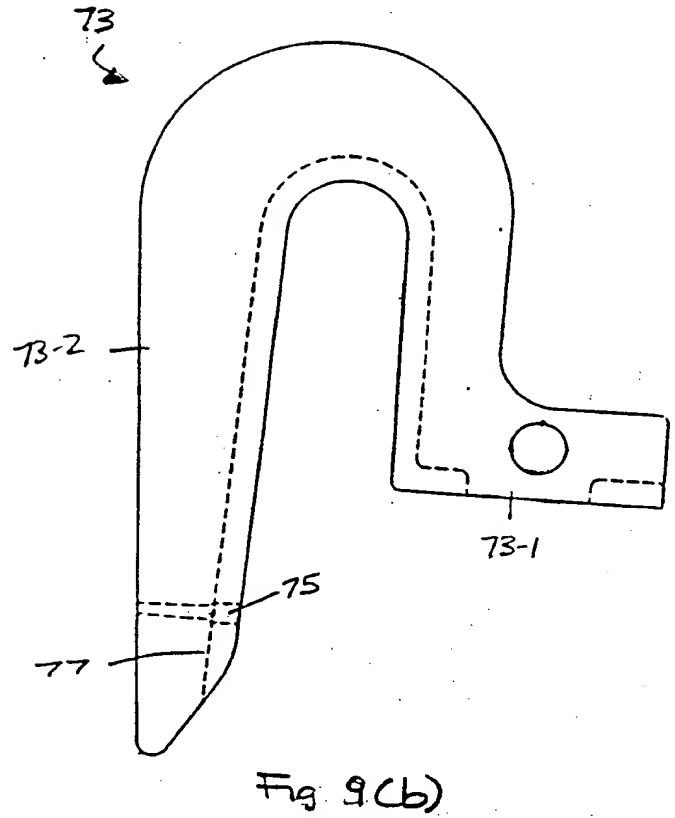
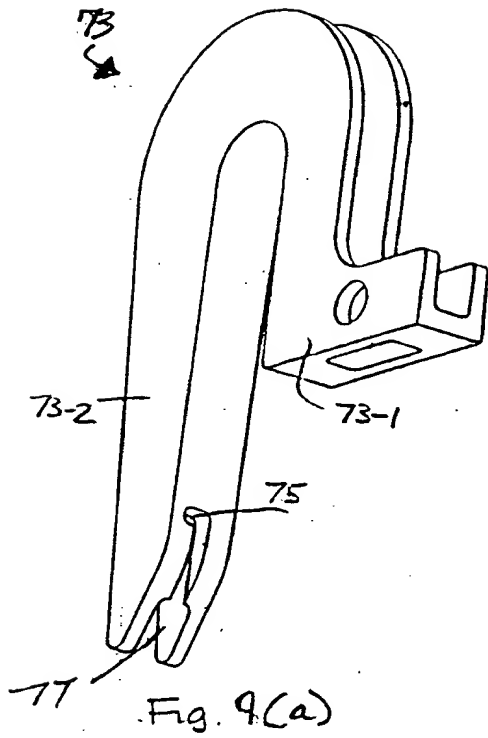


Fig. 7(d)







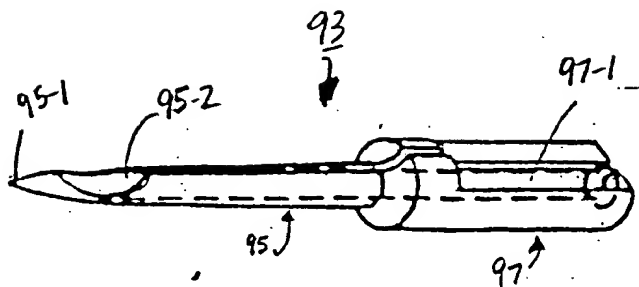


Fig. 10(a)

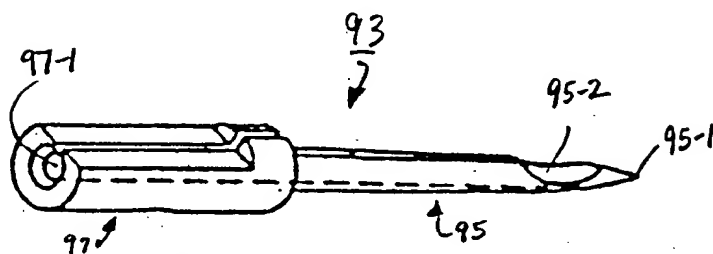


Fig. 10(b)

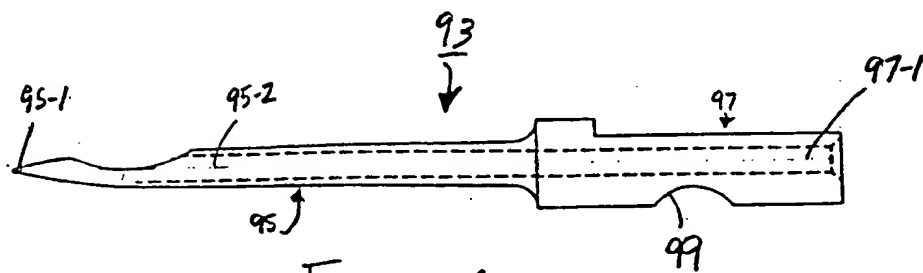


Fig. 10(c)

WO 00/51792

PCT/US00/05649

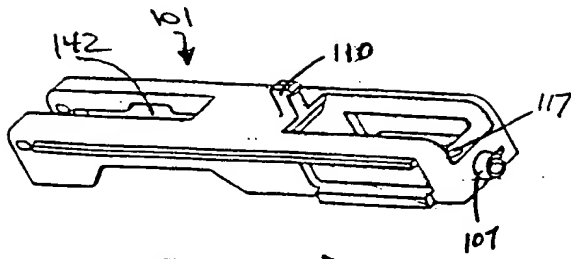


Fig. 11(a)

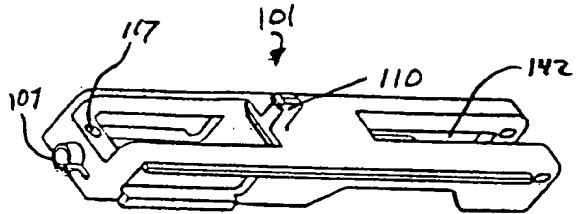


Fig. 11(b)

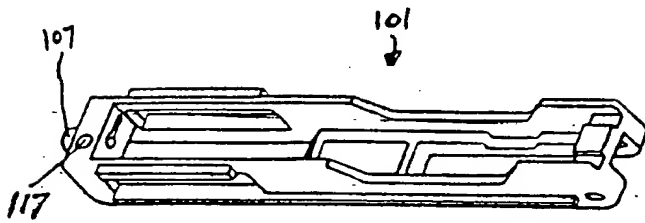


Fig. 11(c)

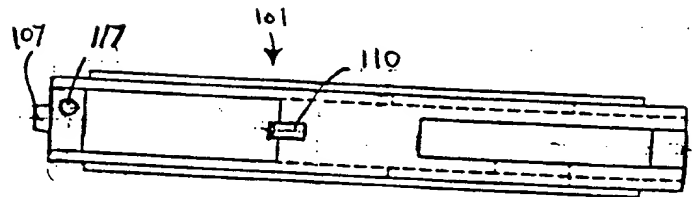


Fig. 11(d)

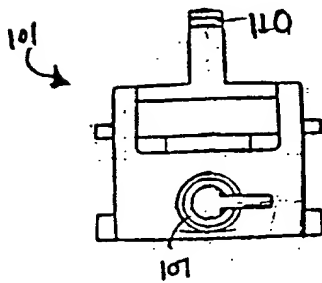


Fig. 11(e)

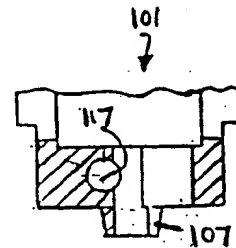


Fig. 11(f)

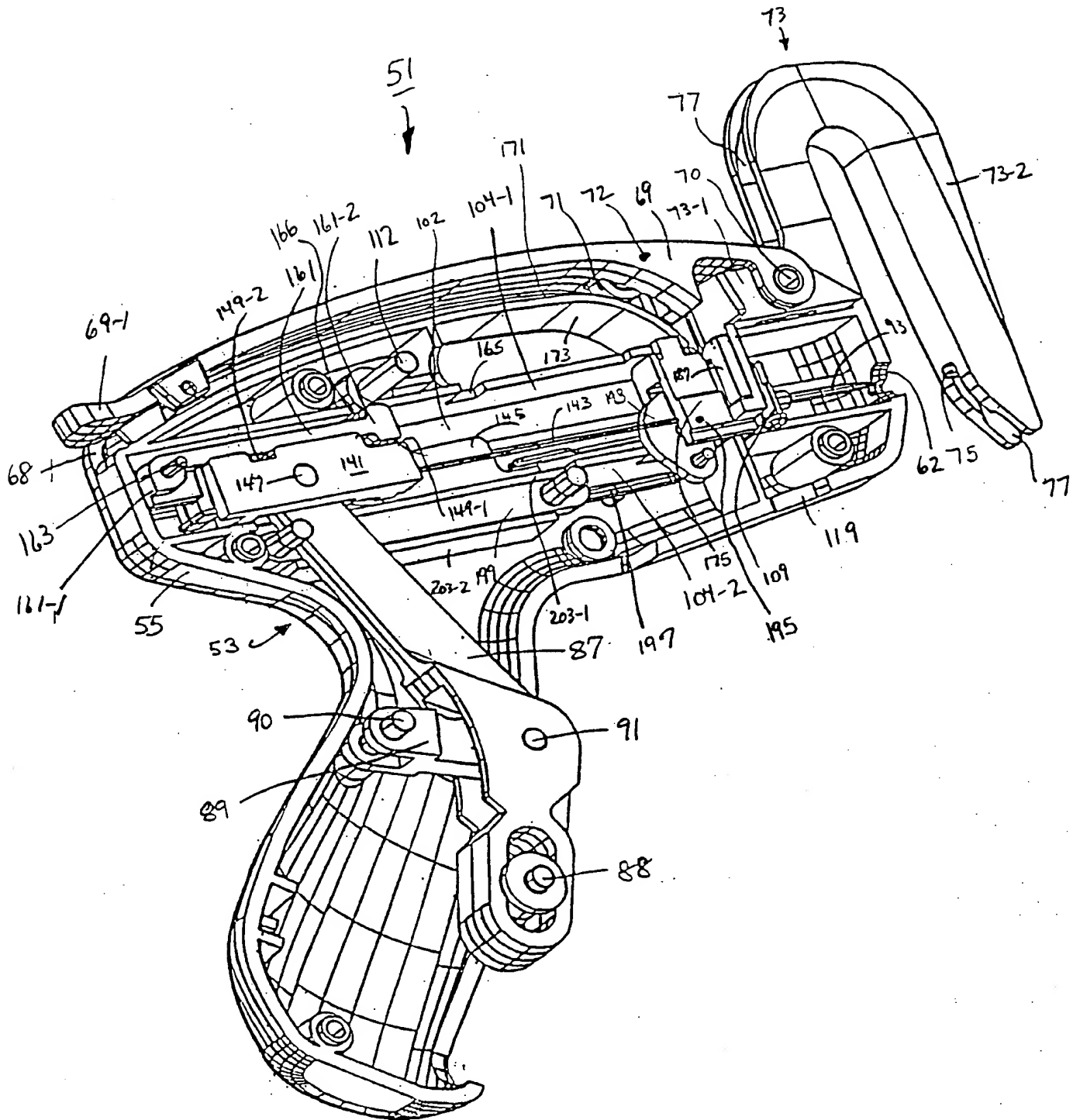


Fig. 13

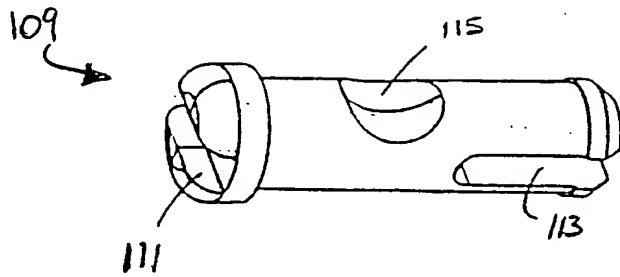


Fig. 12

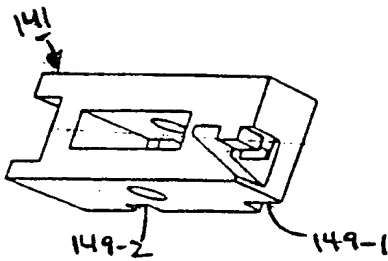


Fig. 14(a)

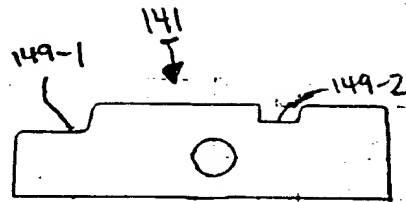


Fig. 14(b)

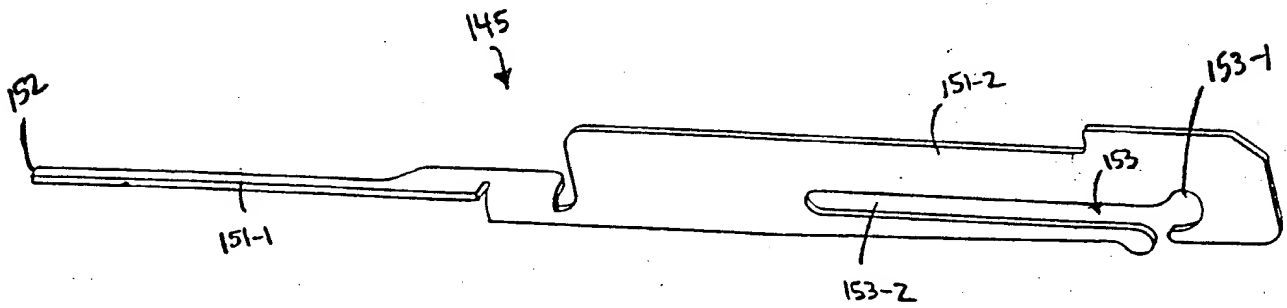


Fig. 15

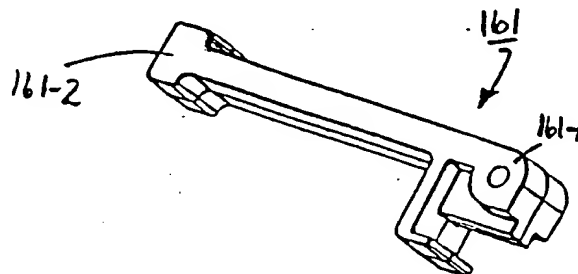


Fig. 16

WO 00/51792

PCT/US00/05649

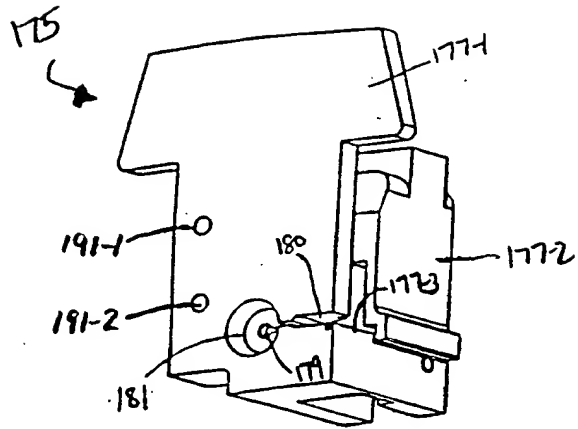


Fig. 17(a)

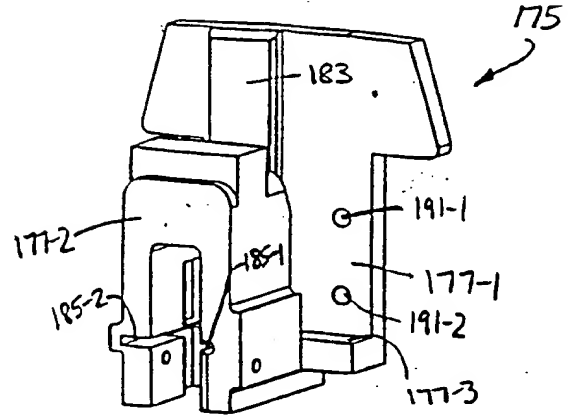


Fig. 17(b)

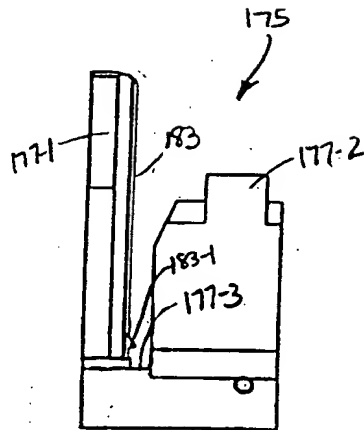


Fig. 17(c)

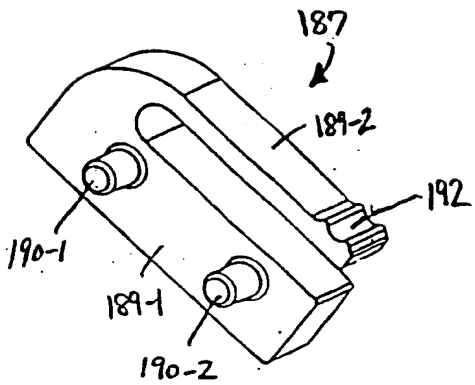


Fig. 18(a)

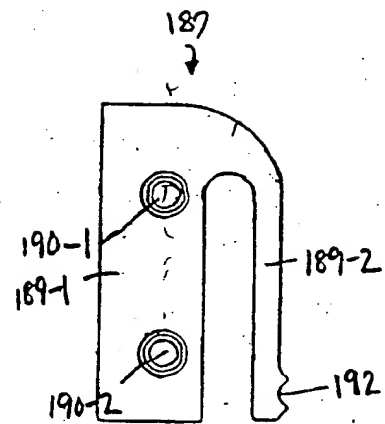


Fig. 18(b)

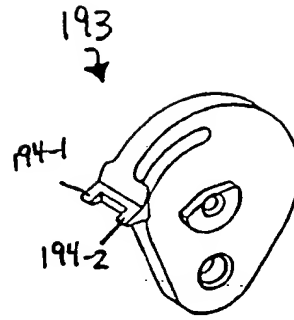


Fig. 19

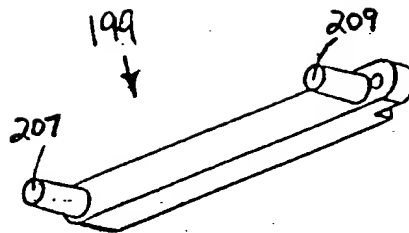


Fig. 20